



Research Paper

Effect of Angle and Geometric Shape of Block on Flow Energy Dissipation in Baffled Chute

Rasoul Daneshfaraz^{1*}, Amir Ghaderi² and Alireza Bagheri³

¹Professor, Department of Civil Engineering, Faculty of Engineering, University of Maragheh, Maragheh, Iran

²PhD Alumni, Department of Water and Hydraulic Structures, Faculty of Engineering, University of Zanjan, Zanjan, Iran

³M. Sc. Student, Department of Civil Engineering, Faculty of Engineering, University of Maragheh, Maragheh, Iran

Paper information

Received: May 02, 2022

Revised: July 16, 2022

Accepted: July 18, 2022

Keywords:

Angle of Chute

Baffled Chute

Energy Dissipation

Shape of Block

*Corresponding author:
daneshfaraz@maragheh.ac.ir



Abstract

Controlling the excess flow energy when using the inclined chute to transfer water is always one of the important hydraulic issues. In the present study, the effect of determining how the shape of the blocks and the longitudinal distance between them affects the energy dissipation under various angles of chutes was evaluated experimentally. The experiments were carried out on three chutes with angles of 20, 23, and 26.6 degrees, five different geometric shapes of blocks, and three different longitudinal distances of 1.5H, 2H, and 2.5H (H is block height). The results indicated that the energy dissipation rate on smooth chute models was between 21.38 to 66%. The baffles on the chute create the flow resistance, and the difference between the energy dissipation rate in baffled chute models compared to smooth chutes is between 21 and 61%. By increasing the angle of the chute from 20 to 26.6 degrees, the energy dissipation on smooth and baffled chutes decreases by 22 and 6%, respectively. Increasing the longitudinal distance between the blocks reduces energy dissipation in all models. For the superior model, a 66% increase in the longitudinal distance between the blocks decreases the energy dissipation rate by 10%.

© Authors, Published by Environment and Water Engineering journal. This is an open-access paper distributed under the CC BY (license <http://creativecommons.org/licenses/by/4.0/>).



Introduction

Inclined chutes are constructed with or without blocks. It is critical to reduce the energy flow downstream of inclined chutes to avoid erosion and the formation of a pit in the downstream channel. If a major part of the energy is consumed during the over chute and before reaching the downstream river, it will reduce the dimensions of the downstream stilling basin or

even eliminate them. Even though a lot of research has been done on inclined chutes and the necessity of using these types of structures in irrigation and drainage channels is clear to researchers, little attention has been paid to the geometric and hydraulic parameters affecting the performance of these structures. Therefore, the main object of this research is to investigate the influence of the chute angle and different longitudinal distances between the rows of

baffled blocks in different geometric shapes on the energy dissipation of the flow over a baffled chute. In this research, the factors that affect the amount of energy used by the flow over the baffled chute were also found and evaluated.

Material and Methods

The laboratory tests were performed in a rectangular flume of 1.2 m in width, 0.8 m in depth, and 12 m in length at the hydraulics laboratory of Maragheh University. The flume

had glass walls to improve flow visibility and reduce friction (Fig. 1). Flow in the flume was supplied by a pump with a maximum capacity of 55 l/s and was pumped into the flume's head tank. An ultrasonic flow meter with a precision of $\pm 1\text{ l/s}$ was used on the transmission pipe to measure the discharge. Two screen plates were used for flow relaxation, and also one floating Styrofoam plate fixed along with the flow was used to reduce water level fluctuations.

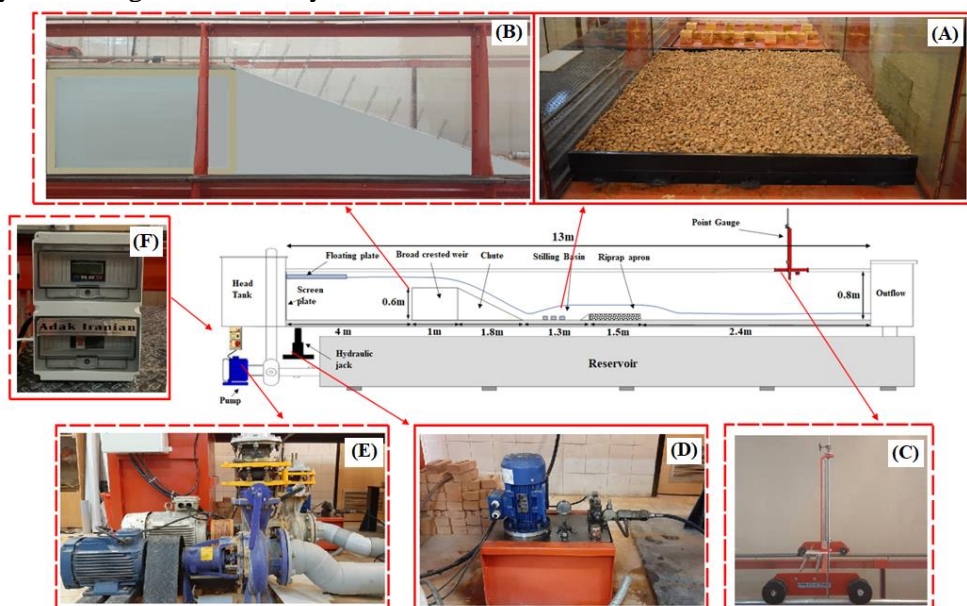


Fig. 1 Schematic view of the experimental setup: a) Riprap apron, b) Chute, c) Point gauge, d) Hydraulic jack, e) Pump and f) Flowmeter

The flow depth was determined by a pointer gauge with an accuracy of $\pm 1\text{ mm}$. The flow depths were measured at a distance of 2 m from the upstream of the chute and after a hydraulic jump into the stilling basin. The experiments were carried out on three chutes with angles of 20, 23, and 26.6 degrees; five different geometric

shapes of blocks; and three different longitudinal distances of 1.5H, 2H, and 2.5H (H block height). A total of 322 tests in different hydraulic condition were examined. The hydraulic characteristics of the flow in the experiments of this research are presented in Table 1.

Table 1 Parameters of models investigated in the present study

Model number	Chute slope, θ ($^{\circ}$)	Discharge, Q (l/s)	Critical depth, y_c (m)	Upstream depth, H_1 (m)	Froude Number, Fr (-)	Longitudinal Distances of Blocks S_l (m)	Transverse Distances of Blocks, S_w (m)
M1	20-23-26.6	25.2-52.8	0.028-0.049	0.061-0.103	3.1-10.6	0.135, 0.18, 0.225	0.108
M2	20-23-26.6	25-53	0.028-0.05	0.062-0.105	3.15-10.7	0.135, 0.18, 0.225	0.108
M3	20-23-26.6	25.1-53	0.028-0.05	0.06-0.103	3.12-10.6	0.135, 0.18, 0.225	0.108
M4	20-23-26.6	25.15-53.1	0.028-0.25	0.061-0.105	3.14-10.5	0.135, 0.18, 0.225	0.108
M5	20-23-26.6	25.2-52.9	0.028-0.05	0.06-0.103	3.15-10.8	0.135, 0.18, 0.225	0.108

Results

In Fig. 2, the variation in energy dissipation for chute models at three different chute angles is presented. It can be seen that in all models, the energy dissipation increases with the increase in the H_{dam}/y_c ratio. In other words, the energy dissipation on the smooth chute models is higher at low flow rates (low y_c). In addition, with the

increase in the chute angle, the energy dissipation increases at a higher rate. The energy dissipation varies between 21.38 and 66%. Fig. 2 shows the variation in energy dissipation in terms of the dimensionless ratio of L/y_c . It can be seen that with the increase in the length of the chute, the flow velocity and its flow energy increase, and due to the greater contact surface of the

water with the bed of the chute, the energy

dissipation increases.

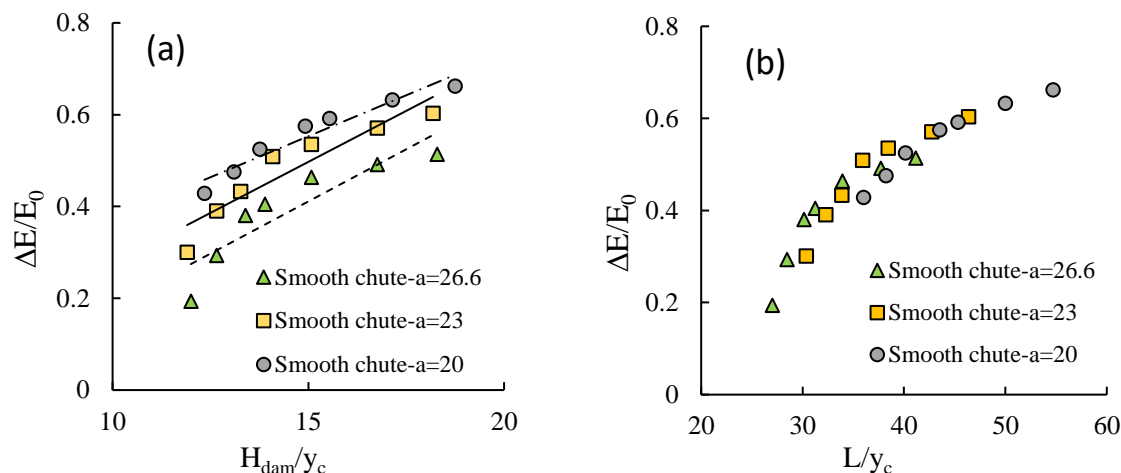


Fig. 2 Variation of energy dissipation on smooth: a) versus H_{dam}/y_c ; b) versus L/y_c

The effect of the longitudinal distances of the blocks in the chute on the energy dissipation is shown in Fig. 3. It can be seen that by increasing the distance between the blocks in the longitudinal direction, the energy dissipation decreases for all models. As an

example, for the chute with an angle of 26.6° and the M2 and M4 models, by increasing the longitudinal distance of the blocks from $1.5H$ to $2.5H$ (H is the height of the block) by 66%, the dissipation decreases by 10 and 7%, respectively.

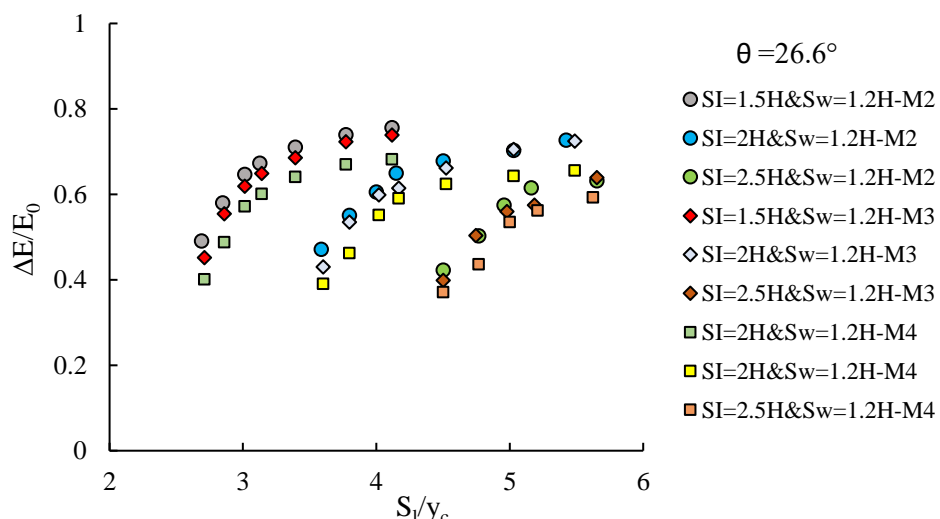


Fig. 3 Comparison of energy dissipation on baffled chute at different longitudinal distances and angle of chutes

Conclusions

In this study, the effects of the angle of the chute and the different geometric shapes of the blocks on the chute at different longitudinal distances of the blocks were studied and compared with the smooth chute. The results indicate that the energy dissipation rate on smooth chute models was between 21 and 66%. The baffles on the chute create the flow resistance, and the difference between the energy dissipation rate in baffled chute models compared to smooth chutes is between 21 and 61%. By increasing the angle of the chute from 20 to 26.6° degrees, the energy dissipation on smooth and baffled chutes decreases by 22 and 6%, respectively. Increasing

the longitudinal distance between the blocks reduces energy dissipation in all models. For the superior model, a 66% increase in the longitudinal distance between the blocks decreases the energy dissipation rate by 10%.

Data Availability

All relevant data are included in the paper.

Conflicts of interest

The authors of this paper declared no conflict of interest regarding the authorship or publication of this article.



ISSN: 2476-3683

محیط‌زیست و مهندسی آب

Homepage: www.jewe.ir

مقاله پژوهشی

اثر زاویه و شکل هندسی بلوک‌های شوت مانع دار بر میزان استهلاک انرژی جریان

رسول دانشفراز^{۱*}، امیر قادری^۲ و علیرضا باقری^۳

۱استاد، گروه مهندسی عمران، دانشکده فنی و مهندسی، دانشگاه مراغه، مراغه، ایران

۲دکتری، گروه آب و سازه‌های هیدرولیکی، دانشکده فنی مهندسی، دانشگاه زنجان، ایران

۳دانشجوی کارشناسی ارشد، گروه مهندسی عمران، دانشکده فنی و مهندسی، دانشگاه مراغه، مراغه، ایران

اطلاعات مقاله

چکیده

[۱۴۰۱/۰۲/۱۲] تاریخ دریافت:

[۱۴۰۱/۰۴/۲۵] تاریخ بازنگری:

[۱۴۰۱/۰۴/۲۷] تاریخ پذیرش:

واژه‌های کلیدی:

استهلاک انرژی

شوت مانع دار

شکل بلوک

زاویه شوت

نویسنده مسئول:

daneshfaraz@maragheh.ac.ir



کنترل انرژی اضافی جریان هنگام استفاده از شوت مایل برای انتقال آب از مسائل مهم هیدرولیکی است. در پژوهش حاضر، تأثیر شکل هندسی بلوک‌ها و فواصل طولی اجرا شده بر روی شوت در زوایای مختلف بر میزان استهلاک انرژی جریان عبوری ارزیابی شد. آزمایش‌ها بر روی سه شوت با زوایای 20° ، 23° و 26° و با پنج شکل هندسی مختلف از بلوک‌ها و در سه فواصل طولی مختلف $H = 1/5$ ، $2/5$ و $4/5$ (H ارتفاع بلوک) نسبت به هم در نظر گرفته شدند. نتایج نشان داد که میزان استهلاک انرژی بر روی مدل‌های شوت بدون مانع بین $21/38$ تا $66/22$ % است. ایجاد بلوک بر روی شوت باعث ایجاد سطح مقاومتی در برابر جریان شده و اختلاف بین نرخ استهلاک انرژی در مدل‌های شوت با مانع نسبت به شوت بدون مانع، بین 21 تا 61 % است. با افزایش زاویه شوت از 20° تا 26° ، میزان استهلاک انرژی جریان در شوت بدون مانع و شوت مانع دار به ترتیب 22 و 6 % کاهش می‌یابد. افزایش فاصله طولی بین بلوک‌ها، باعث کاهش استهلاک انرژی در تمامی مدل‌ها می‌شود. برای مدل برتر، افزایش 66% در فاصله طولی بین بلوک‌ها باعث کاهش 10% در میزان استهلاک انرژی می‌شود.

۱- مقدمه

بخش عمده‌ای از انرژی در طول شوت سریز و قبل از رسیدن به پنجه سریز و رودخانه پایین دست آن، مستهلك شود، سبب کاهش ابعاد مستهلك کننده‌های پایین دست و یا حتی حذف آن‌ها را موجب خواهد شد. در نتیجه این اقدامات سبب کاهش مسائل فنی از جمله طراحی و هزینه‌های اقتصادی می‌شود (Kaya and Emiroglu 2010). بهطور کلی سازه‌های مستهلك کننده انرژی به دو دسته کلی

شیب‌شکن‌های مایل یا شوت‌های مایل در موقعی که شیب زمین از شیب کانال بیشتر باشد مورد استفاده قرار می‌گیرند. این سازه‌ها برای اختلاف سطح بستر تا ارتفاع 5 m کاربرد دارند. شوت‌های مایل اکثرًا با کف مانع دار و بدون مانع دار اجرا می‌شوند. کاهش انرژی جریان در پایین دست شوت‌های مایل برای پیش‌گیری از فرسایش و ایجاد گودال در کانال پایین دست از اهمیت بسزایی برخوردار است. در صورتی که

ویژگی‌های هواده‌ی بر روی شوت‌های مانع دار باشند. Dursun et al. (2016) با استفاده از روش رگرسیون غیرخطی، روابطی را برای پیش‌بینی طول نقطه شروع هواده‌ی بر روی شوت‌های مانع دار ارائه دادند. نتایج آنان نشان داد که ناحیه هواده‌ی بر روی شوت مانع دار نسبت به سرریز پلکانی بزرگ‌تر بوده و اختلاط آب و هوا بیش‌تری اتفاق می‌افتد. Brown and Crowley (2018) به بررسی عددی جریان عبوری از شوت مانع دار بر اساس توصیه‌های طراحی USBR پرداختند. نتایج عددی آنان نشان داد که تطبیق خوبی بین نتایج تئوری ارائه شده در توصیه‌های طراحی USBR^۱ دارد و مدل عددی می‌تواند جریان عبوری از شوت‌های مانع دار را به خوبی شبیه‌سازی و پارامترهای تأثیرگذار بر طراحی این نوع از سازه‌های مستهلاک‌کننده انرژی را مورد ارزیابی قرار دهد. Sarkamaryan and Ghomeshi (2019) با استفاده از مدل فیزیکی به بررسی تأثیر المان‌های مستغرق بر روی تندآب بر روی میزان استهلاک انرژی جریان عبوری پرداختند. با بررسی نتایج مدل‌های همراه با مانع و مقایسه آنها نسبت به مدل‌های بدون مانع، مشاهده کردند که میزان استهلاک انرژی تا ۴۴٪ افزایش می‌یابد. با کاهش شبیب تندآب، میزان افت انرژی نسبی افزایش و روند کاهش افت انرژی با شبیب کمتری اتفاق می‌افتد.

Nugroho et al. (2019) با تغییر در محل بلوک‌ها در راستای طولی شوت، مقدار استهلاک انرژی جریان را نسبت به شوت بدون مانع بررسی و مقایسه کردند. نتایج آنان نشان داد که ایجاد مانع بر روی شوت، باعث ایجاد آشفتگی جریان در طول شوت می‌شود. بیش‌ترین استهلاک انرژی زمانی اتفاق می‌افتد که عمق جریان برابر با ارتفاع بلوک‌ها باشد. در این حالت میزان استهلاک انرژی در حدود ۳۰ الی ۵۰٪ است. Rafiee et al. (2020) عوامل مؤثر بر میزان استهلاک انرژی جریان عبوری از شوت‌های مانع دار را به کمک نرم‌افزار FLOW-3D بررسی کردند. نتایج آنان نشان داد که با افزایش فاصله بین بلوک‌ها، میزان استهلاک انرژی جریان کاهش می‌یابد. در شبیب یکسان و سایر ابعاد مشابه، افزایش طول شوت به میزان سه برابر، افزایش استهلاک ۲۱/۴٪ را به دنبال دارد و روند استهلاک انرژی با افزایش شبیب شوت کاهش می‌یابد. همچنین افزایش ارتفاع بلوک‌ها در افزایش

مستهلاک‌کننده‌های نوع پرش هیدرولیکی و مستهلاک‌کننده‌های نوع ضربه‌ای تقسیم می‌شوند (Katourani and Kashefipour 2014). مستهلاک‌کننده‌های نوع ضربه‌ای آب را به مانع‌هایی هدایت می‌کنند که باعث انحراف جریان از مسیر مستقیم خود شده و با ایجاد سطوح بالایی از آشفتگی در جریان باعث استهلاک انرژی جریان می‌شود. یکی از مستهلاک‌کننده‌های نوع ضربه‌ای استفاده از شوت‌های مانع دار است که کاربرد نسبتاً زیادی در شبکه‌های زهکشی روزانه دارند (Rafiee et al. 2020).

پژوهش‌های مختلفی در این سال‌ها بر روی عملکرد هیدرولیکی شوت‌های مانع دار انجام و پیشنهادهایی ارائه شده است. Kaya and Emiroglu (2010) میزان هواده‌ی ایجاد شده ناشی از برخورد جریان با بلوک‌های تعییه‌شده بر روی شوت را بررسی کردند. نتایج آنان نشان داد که افزایش ارتفاع بلوک‌ها، یکی از پارامترهای مهم در میزان هواده‌ی جریان می‌باشد. خطر پدیده کاویتاسیون بر روی شوت‌های مانع دار، به علت ایجاد ناحیه گستره‌ای از اختلاط آب و هوا، وجود Rahmanshahi Zahabi and Shafai Bejestan (2012) تأثیر ایجاد زبری بر روی بستر تندآب در ارتفاع مختلف را بر روی استهلاک انرژی جریان بررسی کردند. نتایج آزمایش‌های آنان نشان داد که با وجود زبری بستر تندآب، میزان استهلاک انرژی ۱۲ تا ۴۸٪ نسبت به مدل با بستر صاف افزایش می‌یابد. Katourani and Kashefipour (2012) تأثیر ابعاد بلوک‌ها ایجاد شده بر روی کف شوت در میزان استهلاک انرژی جریان را بررسی کردند. نتایج آنان نشان داد که با افزایش عرض بلوک‌ها میزان استهلاک انرژی افزایش می‌یابد. همچنین بیشترین استهلاک انرژی جریان در شوت با شبیب کم اتفاق می‌افتد. Jam et al. (2014) مقایسه عملکرد شوت‌های همراه با بلوک‌های دندانه‌ای با سرریز پلکانی در میزان استهلاک انرژی جریان پرداختند. آنان مشاهده کردند که استفاده از بلوک‌های دندانه‌ای بر روی شوت باعث افزایش ۲۱٪ میزان راندمان استهلاک انرژی نسبت به سرریز پلکانی می‌شود.

Gerger et al. (2017) با استفاده از چند مدل پیشرفته محاسبات نرم، طول نقطه شروع هواده‌ی بر روی شوت‌های همراه با بلوک در اشکال مختلف با داده‌های آزمایشگاهی تخمین زدند. نتایج آنان نشان داد که تقریباً اکثر مدل‌های محاسبات نرم می‌تواند به عنوان ابزاری کارآمد در پیش‌بینی

^۱United States Bureau of Reclamation

آبیاری و زهکشی برای محققین واضح است، اما توجه کمی به پارامترهای هندسی و هیدرولیکی مؤثر بر عملکرد این نوع از سازه‌ها انجام شده است. بنابراین، هدف این پژوهش بررسی آزمایشگاهی تأثیر زوایه شوت و فواصل مختلف طولی بین ردیف‌های مانع در اشکال هندسی مختلفی از بلوک‌های بکار رفته بر میزان استهلاک انرژی جریان عبوری از شوت‌های مانع دار است. همچنین عوامل مؤثر بر روی میزان استهلاک انرژی جریان عبوری از شوت مانع دار در این تحقیق شناسایی و مورد ارزیابی قرار گرفت.

۲- مواد و روش‌ها

۲-۱- آنالیز ابعادی

به منظور دست‌یابی به اهداف تحقیق، ابتدا به شناخت پارامترهای مؤثر بر استهلاک انرژی جریان در پایین دست شوت مانع دار اقدام نموده و با تجزیه و تحلیل ابعادی رابطه کلی، شامل پارامترهای بدون بعد استخراج شد. پارامترهای مؤثر در این آزمایش‌ها در رابطه (۱) ارائه شده است (Ghaderi and Abbasi, 2021a)

$$f_1\left(\frac{\Delta E}{E_0}, q, y_c, H_{dam}, L, H, S_l, S_w, \theta, \sigma, \rho, \mu, g\right) = 0 \quad (1)$$

که $\Delta E/E_0$ افت نسبی انرژی، q دی در واحد عرض جریان، y_c شوت، H عمق بحرانی، H_{dam} ارتفاع شوت، L طول شوت، S_l ارتفاع بلوک، S_w فاصله طولی بلوک‌ها، θ فاصله عرضی بلوک، σ زوایه شوت، ρ کشش سطحی، μ چگالی آب، μ لزجت دینامیکی و g شتاب گرانش زمین می‌باشد. با روش پی-باکینگهام تحلیل ابعادی صورت گرفت و رابطه بدون بعد (۲)، حاصل شد:

$$\Delta E_r = \frac{\Delta E}{E_0} = f_2\left(\frac{H_{dam}}{y_c}, \frac{L}{y_c}, \frac{H}{y_c}, \frac{S_l}{y_c}, \frac{S_w}{y_c}, Fr, Re, We, \theta\right) = 0 \quad (2)$$

$$\Delta E_r = \frac{\Delta E}{E_0} = f_3\left(\frac{H_{dam}}{y_c}, \frac{L}{y_c}, \frac{S_l}{y_c}, Fr, \theta\right) \quad (3)$$

۲-۲- مدل‌ها و تجهیزات آزمایشگاهی

کلیه مراحل انجام این آزمایش‌ها در آزمایشگاه هیدرولیک دانشگاه مراغه انجام شد. آزمایش‌ها در کanal آزمایشگاهی با مقاطع مستطیلی به طول ۱۲، $1/2$ عرض $1/8$ m و با کف فلزی و دیواره‌هایی از جنس شیشه به ضخامت ۱ cm انجام شد. اندازه-گیری دی جریان ورودی کanal توسط دبی‌سنج التراسونیک با دقیقت $1/0.1$ که بر روی لوله ورودی

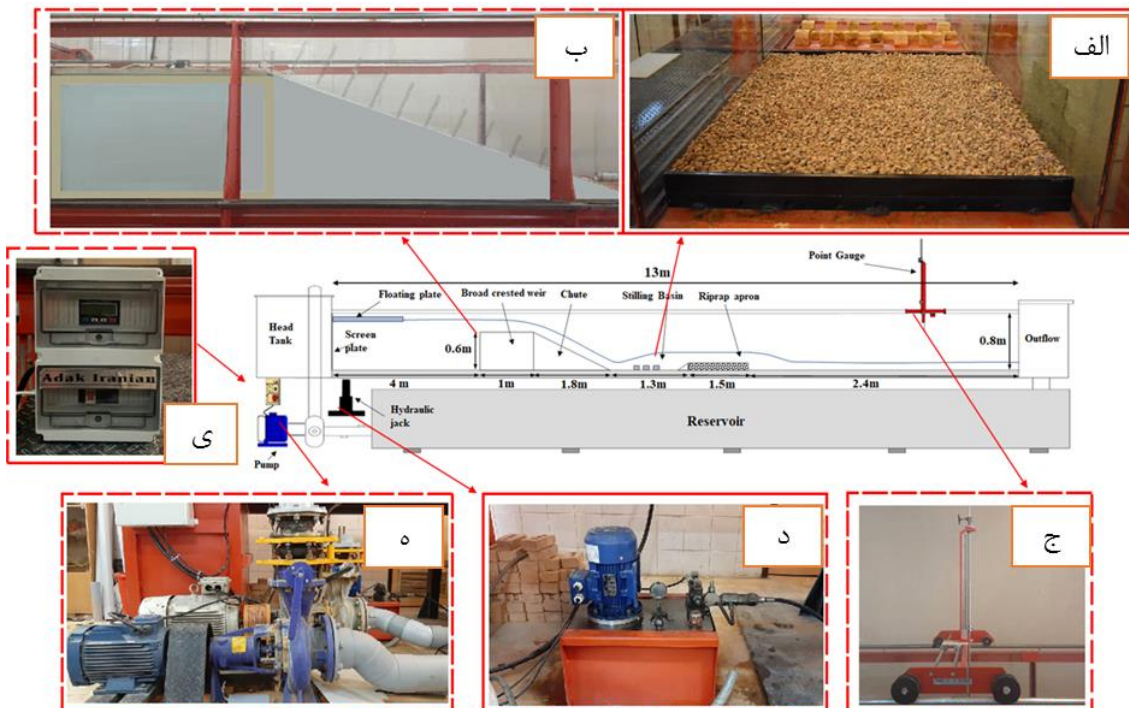
میزان استهلاک انرژی مؤثر است. Rahmanshahi and Shafai Bejestan (2020) کاربرد استفاده از دو مدل ریاضی در پیش‌بینی پارامترهای هیدرولیکی جریان عبوری از شوت همراه با زبری مصنوعی را بررسی کردند. نتایج آنان حاکی از موفقیت این دو مدل در پیش‌بینی رفتار جریان عبوری از شوت همراه با زبری بود. به طوریکه با افزایش تراکم زبری و افزایش شبیه شوت، میزان استهلاک انرژی جریان افزایش می‌یابد. Daneshfaraz et al. (2021a) اثر ایجاد المان‌های ایجاد شده بر روی شبیه‌شکن مایل را بر مشخصات هیدرولیکی جریان عبوری از آن بررسی کردند. نتایج آنان نشان داد که ایجاد المان بر روی شبیه‌شکن مایل تا 88% باعث افزایش استهلاک انرژی جریان عبوری می‌گردد. همچنین با افزایش عمق نسبی بحرانی، عمق پایاب و طول پرش‌هیدرولیکی در پایین دست شبیه‌شکن مایل همراه با المان افزایش می‌یابد. Daneshfaraz et al. (2021b) به ارزیابی پارامترهای هندسی بلوک‌های تعییه شده بر روی شبیه‌شکن مایل بر روی میزان استهلاک انرژی جریان پرداختند. نتایج نشان داد که تعییه بلوک‌هایی مثلثی، استوانه‌ای و خفاسی شکل بر روی شبیه‌شکن به ترتیب 85% و 76% انرژی جریان را مستهلك می‌نمایند.

با بررسی کاربرد و نتایج گذشته انجام شده بر روی شوت‌ها، می‌توان گفت یکی از معایب شوت‌ها یا شبیه‌شکن‌های مایل، افزایش انرژی جنبشی در پایین دست آن‌ها می‌باشد. لذا ایجاد بلوک بر روی کف این نوع از سازه‌ها می‌تواند عملکرد آن‌ها را در برابر افزایش میزان استهلاک انرژی بهبود بخشد. با آنکه تحقیقات زیادی بر روی شوت‌ها و شبیه‌شکن‌های مایل صورت گرفته و ضرورت کاربرد این نوع سازه‌ها در کanal‌های

با توجه به اینکه در پژوهش حاضر، ارتفاع بلوک‌ها و فاصله عرضی آن‌ها در راستای عرضی کanal ثابت می‌باشد، می‌توان از رابطه بالا حذف شوند. همچنین با توجه به اینکه ارتفاع آب بر روی لبه شوت در تمامی مدل‌ها بیشتر از 4 cm می‌باشد، از تأثیر کشش سطحی و در نتیجه عدد وبر می‌توان صرف‌نظر کرد (Ghaderi et al. 2020). به دلیل ماهیت آشفته جریان از تأثیر لزجت نیز صرف‌نظر می‌شود Daneshfaraz et al. 2021c, Daneshfaraz et al. 2021d). لذا رابطه (۲) به رابطه (۳) خلاصه می‌شود:

(توري) تعبيه شده در ابتداي فلوم استفاده شد. عمق جريان توسط عمق سنج نقطه‌اي با دقت 0.1 mm اندازه‌گيري شد (شکل ۱).

جريان به فلوم نصب شده بود، اندازه‌گيري شد. دبي مورد نياز توسيط پمپي با توان 55 l/s از مخزن اصلی به کanal هدايت مي‌شود. برای جلوگيري از تلاطم جريان در مقطع ورودي به کanal از چند لایه صفحه مشبك

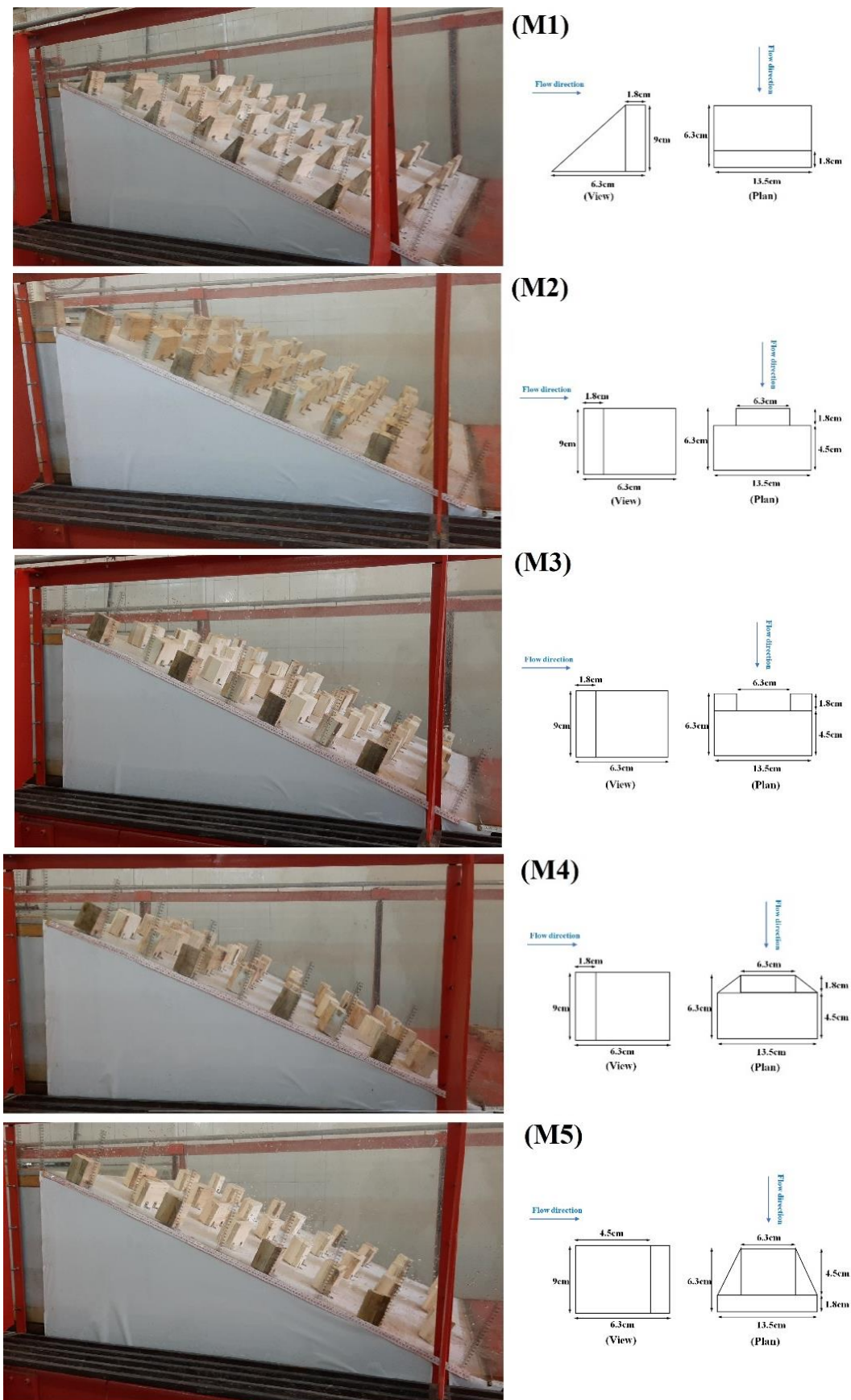


شکل ۱- طرح کلی از فلوم و مدل آزمایشگاهی: الف- حوضچه آرامش و باكس سنگريزهای، ب- شوت، ج- عمق سنج، د- بالابر هیدروليکی، پمپ و ی- دبي سنج

Fig. 1 Schematic view of the setup and the experimental model: a) Stilling Basin and Riprap apron, b) Chute c) Point gauge, d) Hydraulic jack, e) Pump and f) Flowmeter

آرامش از يك باكس سنگريزهای به طول $1/5 \text{ m}$ طول و عرض $1/2 \text{ m}$ و با ضخامت 0.08 m پر شده از ذرات با قطر متوسط $d_{50} = 0.025 \text{ m}$ برابر 0.025 m در نظر گرفته شد (Ghaderi and Abbasi 2021b). آزمایش‌ها در ۵ نوع از شکل بلوك و در سه فاصله طولی مختلف و با فاصله عرضی ثابت و براساس نسبتی از ارتفاع بلوك (H) انجام و نتایج آن‌ها با يكديگر مقایسه شد. در مجموع ۳۲۲ آزمایش مختلف با دبي‌های $0.25, 0.30, 0.35, 0.40, 0.45, 0.50$ و 0.53 m ، میزان استهلاک انرژی جريان عبوری از شوت مانع دار مورد بررسی قرار گرفت. شکل ۲(۲) نمایی از مدل‌های بلوك تعبيه شده بر روی شوت و نحوه چيدمان آن‌ها را نشان می‌دهد. مشخصات هيدروليکي جريان در آزمایش‌ها پژوهش حاضر در جدول (۱) ارائه شده است.

همه آزمایش‌ها با ساخت مدل‌های فيزيکي شوت در سه زاويه شوت $23^\circ, 20^\circ$ و 26.6° و ارتفاع ثابت 0.06 m و طول شوت به ترتيب $1/75, 1/53$ و $1/34 \text{ m}$ ساخته شده از فوم فشرده نسبتاً سخت با ضخامت 0.15 m انجام شد. از يك سرريز لبه‌پهن به طول و ارتفاع به ترتيب 1 m و 0.06 m و هم عرض 0.045 m برای کنترل دبي استفاده شد (Ghaderi and Abbasi 2021a). در پايان دست مدل‌های شوت مانع دار، يك حوضچه آرامش تipe III براساس معيارهای طراحی USBR و برای جريان ورودي با عدد فرود ۸ طراحی شد. از اين رو حوضچه آرامش دارای $1/3 \text{ m}$ طول، 0.5 m عرض و با سه رديف بلوك‌های غيرممتد مكعبی شكل از جنس چوب به ارتفاع 0.45 m انجام شد. جهت جلوگيري از فرسايش در پايان دست حوضچه آرامش و ايجاد پرش در داخل حوضچه



شکل ۲- مدل‌های بلوک استفاده شده بر روی شوت پژوهش حاضر

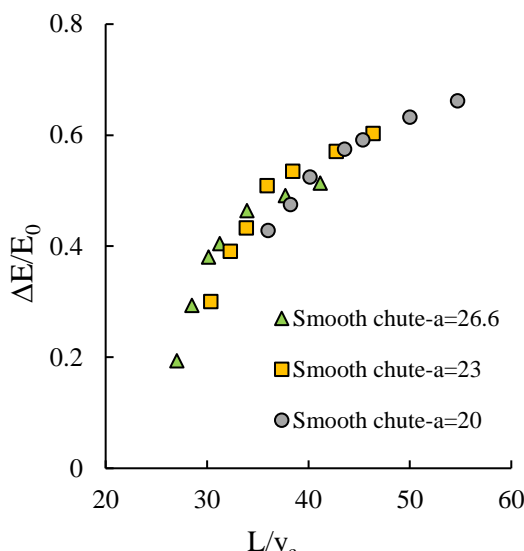
Fig. 2 Models of blocks used in present study

جدول ۱- پارامترهای مدل‌های آزمایشگاهی بررسی شده در پژوهش حاضر

Table 2 Parameters of models investigated in the present study

Model number	Chute slope, θ (°)	Discharge, Q-(l/s)	Critical depth, y_c (m)	Upstream depth, H_1 (m)	Froude number, Fr (-)	Longitudinal distances of blocks, S_l (m)	Transverse distances of blocks S_w (m)
M1	20-23-26.6	25.2-52.8	0.028-0.049	0.061-0.103	3.1-10.6	0.135, 0.18, 0.225	0.108
M2	20-23-26.6	25-53	0.028-0.05	0.062-0.105	3.15-10.7	0.135, 0.18, 0.225	0.108
M3	20-23-26.6	25.1-53	0.028-0.05	0.06-0.103	3.12-10.6	0.135, 0.18, 0.225	0.108
M4	20-23-26.6	25.15-53.1	0.028-0.25	0.061-0.105	3.14-10.5	0.135, 0.18, 0.225	0.108
M5	20-23-26.6	25.2-52.9	0.028-0.05	0.06-0.103	3.15-10.8	0.135, 0.18, 0.225	0.108

می‌دهد. مشاهده می‌شود که با افزایش طول شوت، سرعت جریان و انرژی آن افزایش یافته و در اثر سطح تماس بیشتر آب با بستر شوت، میزان استهلاک انرژی بیشتری شکل می‌گیرد.

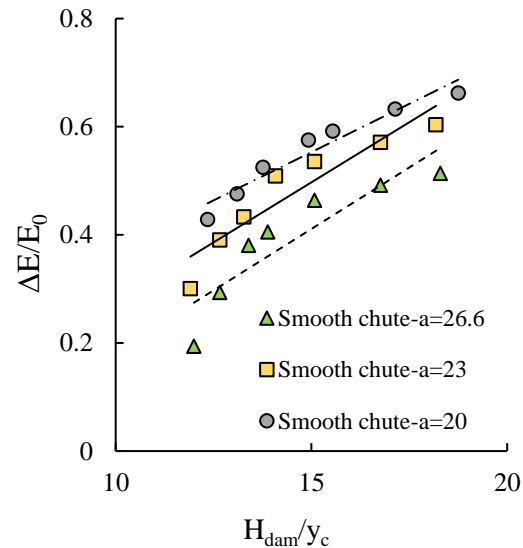


شکل ۴- تغییرات استهلاک انرژی جریان به ازای نسبت بدون بعد L/y_c

Fig. 4 Variation of energy dissipation on smooth versus L/y_c

۲-۳- استهلاک انرژی مدل‌های شوت مانع دار در شکل (۵) تغییرات مقدار استهلاک انرژی در برابر نسبت y_c/H_{dam} برای مدل شوت صاف و مدل‌های شوت مانع دار در هر سه زاویه شوت مختلف ارائه شده است. مشاهده می‌شود در هر سه زاویه شوت، ایجاد بلوک بر روی شوت باعث افزایش مقدار استهلاک انرژی نسبت به شوت بدون مانع می‌گردد. در هر یک از زاویه شوت مشخص، با افزایش y_c که در واقع نشان‌دهنده افزایش دبی است، میزان استهلاک انرژی برای تمامی شکل‌های مختلف از بلوک‌ها کاهش می‌یابد. علت آن کاهش نیروی پسا^۱ کل که عاملی مقاوم در برابر جریان

۳- یافته‌ها و بحث
۳-۱- استهلاک انرژی مدل‌های شوت بدون مانع در شکل (۳)، تغییرات استهلاک انرژی جریان برای مدل‌های شوت بدون مانع در سه زاویه شوت مختلف ارائه شده است. مشاهده می‌شود که در تمامی مدل‌ها با افزایش نسبت H_{dam}/y_c ، میزان استهلاک انرژی افزایش می‌یابد. به عبارت دیگر میزان استهلاک انرژی بر روی مدل‌های شوت در دبی‌های کم (y_c کم) بیشتر است.



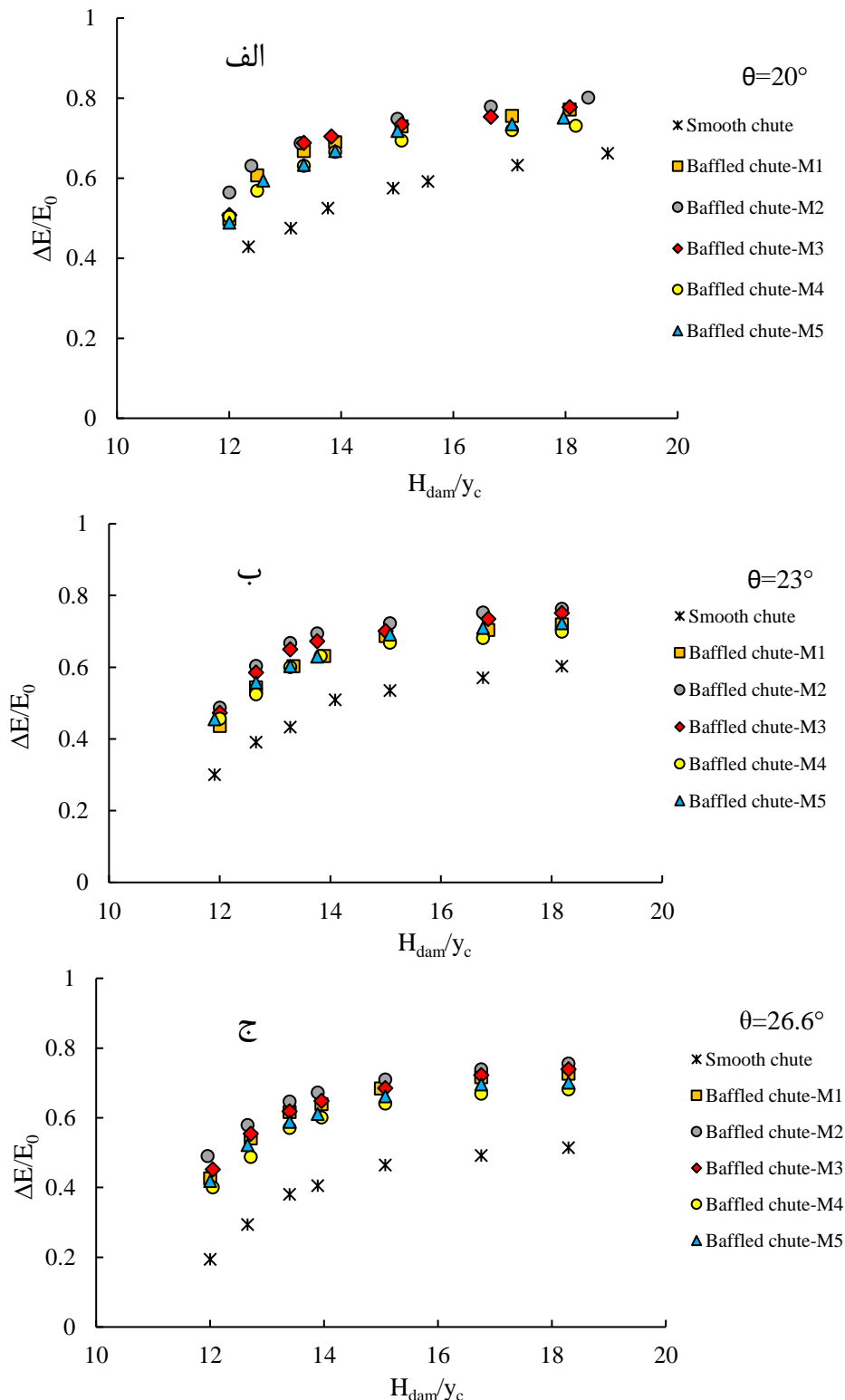
شکل ۳- تغییرات استهلاک انرژی جریان در مدل‌های شوت بدون مانع در زاویه شوت مختلف

Fig. 3 Variation of energy dissipation on smooth at different angles

همچنین با افزایش زاویه شوت، روند افزایش استهلاک انرژی با آهنگ بیشتری اتفاق می‌افتد. در حالت کلی بر روی مدل‌های شوت بدون مانع، میزان استهلاک انرژی جریان نسبت به انرژی بالادست در محدوده دبی‌های مورد بررسی، بین ۲۱ تا ۶۶٪ متغیر است. در شکل (۴) تغییرات استهلاک انرژی جریان به ازای نسبت بی بعد طول نسبی شوت (L/y_c) نشان

^۱Drag

برای کاهش انرژی آن می‌باشد، هست. با مقایسه اشکال مختلف بلوک‌ها بر روی شوت، مدل M2 بهترین عملکرد و مدل M4 ضعیفتر از سایر مدل‌ها در استهلاک انرژی جریان مدل M4 میزان انتقال انرژی از روی شوت نقش داشتند. مدل M2 در زوایای جریان می‌شوند.

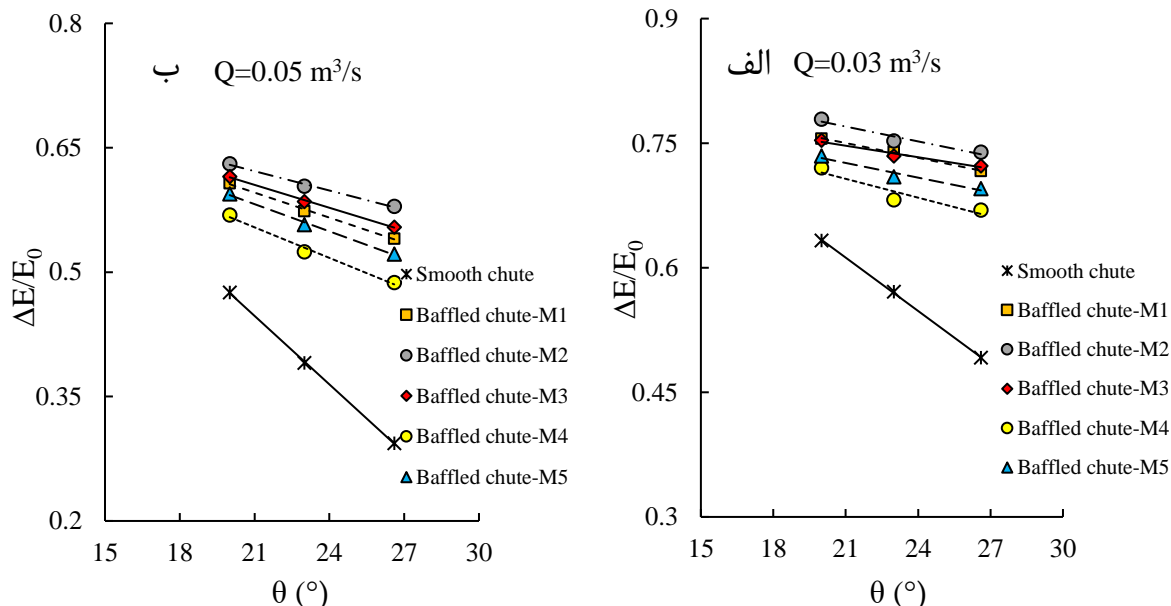


شکل ۵- مقایسه میزان استهلاک انرژی جریان عبوری از مدل‌های شوت مانع دار و شوت بدون مانع در زوایه‌های شوت: الف- 20° ، ب- 23° و ج- 26.6°

Fig. 5 Comparison of energy dissipation on smooth and baffled chute at angles: a) 20, b) 23 and c) 26.6°

کاهش می‌یابد. این در حالی است که در مدل‌های همراه با مانع به طور متوسط استهلاک انرژی با افزایش زاویه شوت ۶٪ کاهش می‌یابد. با افزایش دبی، میزان استهلاک انرژی جریان کاهش می‌یابد. بنابراین عملکرد شوت‌های مانع دار در دبی‌های M2 کم، بهتر است. در تمامی زوایای شوت، مدل M2 نسبت به سایر شکل بلوک‌ها، باعث استهلاک بیشتر جریان می‌شود.

در شکل (۶) تأثیر زاویه شوت بر روی استهلاک انرژی مدل‌های شوت مانع دار را نسبت به مدل‌های بدون مانع نشان می‌دهد. برای مدل‌های شوت، با افزایش زاویه شوت، میزان استهلاک انرژی جریان کاهش می‌یابد. روند کاهشی استهلاک انرژی با افزایش زاویه شوت در مدل‌های بدون مانع، بیشتر از مدل‌های مانع دار است. بطوریکه در شوت‌های بدون مانع با افزایش زاویه شوت از ۲۰ تا ۲۶٪، میزان استهلاک انرژی جریان ۲۲٪

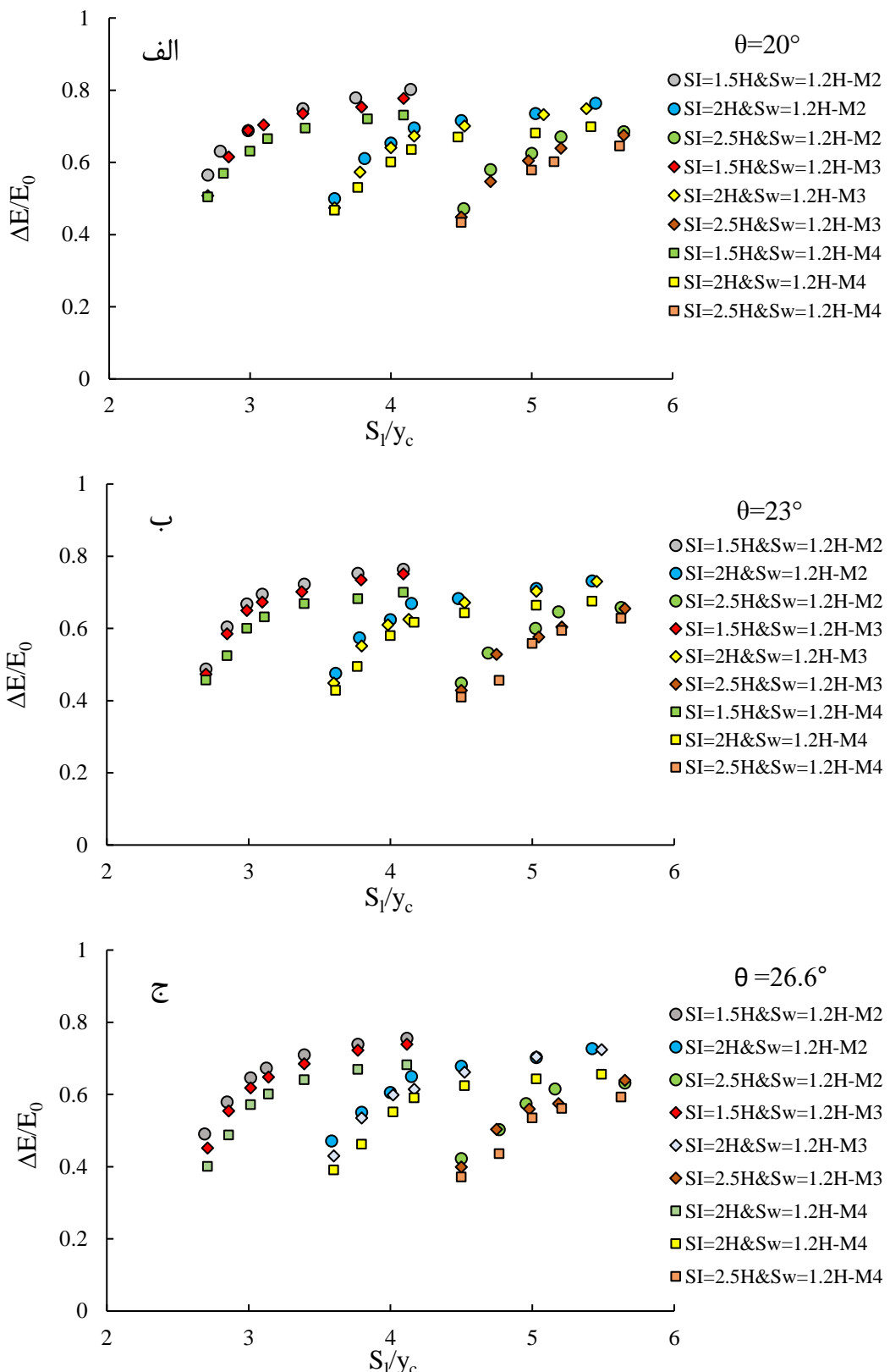


شکل ۶- تأثیر زاویه شوت بر استهلاک انرژی جریان عبوری از مدل‌های شوت مانع دار و شوت بدون مانع: الف- در دبی $0.03\text{ m}^3/\text{s}$ و ب- در دبی $0.05\text{ m}^3/\text{s}$

Fig. 6 The effect of angle of chute on energy dissipation at smooth and baffled chute: a) $Q=0.03$ and b) $Q=0.05\text{ m}^3/\text{s}$

شوت $26/6^\circ$ و مدل‌های M2 و M4 با افزایش فاصله طولی بلوک‌ها از $1.5H$ به $2.5H$ (H ارتفاع بلوک) به میزان $6/6\%$ ، نرخ استهلاک انرژی جریان به ترتیب 10 و 7% کاهش می‌یابد. همچنین برای زاویه شوت 20° و مدل‌های M2 و M4 با افزایش فاصله طولی بلوک‌ها از $1.5H$ به $2.5H$ ، نرخ استهلاک انرژی جریان به ترتیب 10 و 9% کاهش می‌یابد.

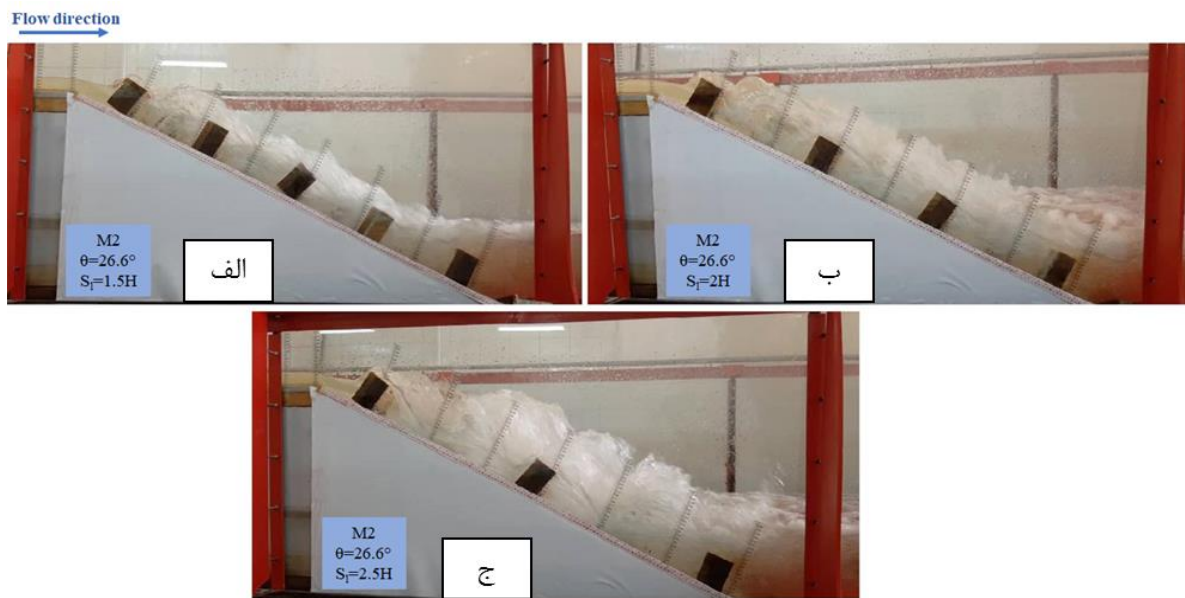
در شکل (۷) نتایج تأثیر فاصله‌های طولی بلوک‌های روی شوت بر میزان استهلاک انرژی جریان ارائه شده است. مشاهده می‌شود، با افزایش فاصله بین بلوک‌ها در راستای طولی، میزان استهلاک انرژی برای تمامی مدل‌ها کاهش می‌یابد. علت آن می‌تواند کاهش تراکم بلوک‌ها با افزایش فاصله آن‌ها در یک طول مشخص و کاهش سطح برخورد جریان با بلوک‌ها به عنوان عامل مقاوم در برابر جریان باشد. به عنوان نمونه برای زاویه



شکل ۷- مقایسه استهلاک انرژی مدل‌های شوت مانع دار در فواصل طولی و زاویه‌های شوت مختلف: الف- ۲۰، ب- ۲۳ و ج- ۲۶.۶°
Fig. 7 Comparison of energy dissipation on baffled chute at different longitudinal distances and angle of chutes:
a) 20, b) 23 and c) 26.6°

شکل (۸) جریان عبوری از مدل شوت M2 را برای هر سه بین بلوک‌ها بر روی شوت باعث محصور شدن جریان در بین فاصله طولی بلوک‌های روی شوت را نمایش می‌دهد. تراکم بلوک‌ها شده و تداخل جریان را افزایش می‌دهد. لذا هر چه

بهنوعی عامل مقاوم در برابر جریان است، بیشتر می‌شود و اثر انرژی جنبشی بیشتری تلف می‌گردد.



شکل ۸- برخورد جریان عبوری از شوت مانع دار در دبی ۴۰ l/s برای بلوک‌های روی شوت با فاصله طولی مختلف: الف- H - $1/5$ ، ب- H - $2/5$ و ج- H - 2

Fig. 8 Collision of the flow passing over the on baffled chute at discharge 40 l/s for the blocks on the baffled chute with the different longitudinal distances: a) 1.5 H, b) 2 H and c) 2.5 H

جدول ۲- نتایج مقدار استهلاک انرژی (درصد) برای مدل M2 در زاویه شوت و فواصل طولی مختلف

Table 2 Results of energy dissipation (percentage) for M2 as a superior model at different longitudinal distances and angle of chutes

Angle	Chute	Longitudinal distances (m)	Q (l/s)						
			25	30	35	40	45	50	54
26.6	Smooth	-	51.39	49.15	46.60	40.51	38.06	29.37	19.38
		0.135	75.55	73.91	70.99	67.22	64.61	57.94	49.03
		0.180	72.66	70.23	67.77	64.94	60.49	55.05	47.13
	Baffled	0.225	70.92	67.09	63.12	61.50	57.45	50.27	40.24
		-	60.33	57.10	53.54	50.91	43.32	39.07	30.08
		0.135	76.34	75.25	72.34	69.43	66.74	60.35	48.73
23	Smooth	0.180	73.13	71.06	68.28	66.93	62.38	57.41	47.56
		0.225	71.87	69.45	65.80	64.61	60	53.20	44.84
		-	66.22	63.26	59.19	57.51	52.50	47.54	42.84
	Baffled	0.135	80.16	77.89	74.85	71.35	68.79	63.09	56.44
		0.180	76.34	73.54	71.59	69.51	65.30	61.02	49.95
		0.225	74.10	71.88 ⁸	68.48	67.04	62.49	58.01	47.18

که درصد افزایش میزان استهلاک انرژی جریان در مدل شوت مانع دار نسبت به مدل شوت بدون مانع در زاویه شوت بیشتر (زاویه 26.6°) اتفاق می‌افتد. برای یک مدل شوت ثابت با افزایش دبی، میزان استهلاک انرژی جریان کاهش می‌یابد. همچنانکه اشاره شد، در مدل M2 تراکم بین بلوک‌ها بر روی شوت باعث برخورد جریان در بین بلوک‌ها شده و تداخل جریان را افزایش می‌دهد. لذا علاوه بر تداخل بیشتر

جدول (۲) خلاصه نتایج استهلاک انرژی نسبی و در جدول (۳)، درصد افزایش استهلاک انرژی جریان در مدل برتر M2 را نسبت به مدل‌های شوت بدون مانع در زوایای مختلف شوت، فواصل طولی مختلف و دبی‌های مختلف نشان می‌دهد. مشاهده می‌شود، با آن‌که با کاهش زاویه شوت، مقدار استهلاک انرژی جریان برای یک دبی مشخص افزایش می‌یابد، همچنین، با دقت در جدول (۳) می‌توان مشاهده کرد

می‌دهد. با کاهش زاویه شوت، مقدار استهلاک انرژی جریان برای یک دبی مشخص افزایش می‌یابد، در جدول (۳) افزایش درصد میزان استهلاک انرژی جریان در مدل شوت مانع دار نسبت به مدل شوت بدون مانع در زاویه شوت بیشتر (زاویه ۲۶/۶°) اتفاق می‌افتد. برای یک مدل شوت ثابت با افزایش دبی، میزان استهلاک انرژی جریان کاهش می‌یابد.

که باعث تلاطم و استهلاک انرژی می‌گردد، همچنین هر چه فاصله طولی بین بلوكها کم باشد، در اثر برخورد هر چه بیشتر جریان با بلوكها انرژی بیشتری مستهلاک می‌گردد (جدول ۲).

در جدول (۳) درصد افزایش استهلاک انرژی جریان در مدل برتر M2 را نسبت به مدل‌های شوت بدون مانع در زوایای مختلف شوت، فواصل طولی مختلف و دبی‌های مختلف نشان

جدول ۳- افزایش استهلاک انرژی (درصد) در مدل برتر M2 نسبت به مدل بدون مانع در زاویه شوت و فواصل طولی مختلف

Table 3 Increase of energy dissipation (percentage) for M2 as a superior model compared to smooth chutes at different longitudinal distances and angle of chutes

M2	Longitudinal distances (m)	Q (l/s)						
		25	30	35	40	45	50	54
26.6	0.135	31.97	33.50	34.63	39.77	41.09	49.31	61
	0.180	29.26	30	31.53	37.62	37	46.63	58.88
	0.225	27.53	26.74	26.49	34.14	33.75	41.58	54.12
	0.135	20.96	24.12	25.59	26.66	35.09	35.25	38.27
23	0.180	17.49	19.64	21.59	23.92	30.54	31.93	36.75
	0.225	16.04	17.77	18.63	21.19	27.79	26.54	32.91
	0.135	17.39	18.87	20.92	21.28	23.67	24.64	24.09
20	0.180	13.26	13.97	17.32	17.26	19.59	22.09	14.23
	0.225	10.63	11.99	13.53	14.21	15.98	18.04	9.20

موازی روی شوت، باعث افزایش آشفتگی و افزایش میزان استهلاک انرژی جریان نسبت به شوت بدون مانع می‌گردد.

۴- اختلاف بین نرخ استهلاک انرژی در مدل‌های شوت با مانع نسبت به شوت بدون مانع، بین ۲۱ تا ۶۱٪ می‌باشد. در بین اشكال مختلفی از بلوكها، مدل M2 بیشتر از سایر مدل‌ها باعث استهلاک انرژی جریان می‌شود.

۵- برای هر مدل شوت همراه با مانع، اختلاف بیشتر بین نرخ استهلاک انرژی نسبت به شوت بدون مانع در دبی‌های بالا و در زاویه شوت بیشتر یعنی ۲۶/۶° اتفاق می‌افتد.

با توجه ثابت بودن ارتفاع بلوكها در پژوهش حاضر، پیشنهاد می‌شود که تغییر ارتفاع بلوك و رعایت نمودن و ننمودن معیار USBR در طراحی بررسی شود. همچنین بهدلیل محدودیت ابعاد کanal آزمایشگاهی پیشنهاد می‌شود که آزمایش‌ها در کanalی با ابعاد متفاوت با شرایط هیدرولیکی یکسان انجام گیرد و تأثیر اثر مقیاس بر روی نتایج ارزیابی شود.

۴- نتیجه‌گیری

در این پژوهش تأثیر زاویه شوت و اشكال مختلف هندسی بلوكهای ایجاد شده بر روی شوت، در فواصل طولی مختلف بلوكها بر روی استهلاک انرژی جریان و در شرایط هیدرولیکی متفاوت بررسی و با مدل‌های شوت بدون مانع مقایسه شد. خلاصه‌ای از نتایج پژوهش حاضر به شرح زیر می‌باشد:

۱- عملکرد مدل‌های شوت بدون مانع در زوایای مختلف شوت بر میزان استهلاک انرژی در دبی‌های کم بهتر است. بر روی مدل‌های شوت بدون مانع، میزان استهلاک انرژی در محدوده دبی‌های مورد بررسی، بین ۲۱ تا ۶۶٪ بود.

۲- در شوت‌های بدون مانع با افزایش زاویه شوت، میزان استهلاک انرژی جریان کاهش می‌یابد. این در حالی است که در مدل‌های شوت همراه با مانع به طور متوسط استهلاک انرژی با افزایش زاویه شوت کاهش یافت.

۳- ایجاد بلوك، باعث ایجاد سطح مقاومتی در برابر جریان شده و با برخورد جریان به بلوكها و انحراف آن‌ها از مسیر

تضاد منافع نویسندها

نویسندها این مقاله اعلام می‌دارند که، هیچ‌گونه تضاد منافعی در رابطه با نویسنده‌ی و یا انتشار این مقاله ندارند.

دسترسی به داده‌ها

داده‌های استفاده شده (یا تولید شده) در این پژوهش در متن مقاله ارائه شده است.

References

- Brown, C. and Crowley, R. (2018). United States Bureau of Reclamation Type IX Baffled Chute Spillways: A New Examination of Accepted Design Methodology Using CFD and Monte Carlo Simulations, Part I. In Multidisciplinary Digital Publishing Institute Proceedings 7(1), 13. DOI: [10.3390/ECWS-3-05805](https://doi.org/10.3390/ECWS-3-05805)
- Daneshfaraz, R., Aminvash, E., Bagherzadeh, M., Ghaderi, A., Kuriqi, A., Najibi, A. and Ricardo, A. M. (2021a). Laboratory investigation of hydraulic parameters on inclined drop equipped with fishway elements. Symmet., 13(9), 1643. DOI: [10.3390/sym13091643](https://doi.org/10.3390/sym13091643)
- Daneshfaraz, R., Aminvash, E., Di Francesco, S., Najibi, A. and Abraham, J. (2021b). Three-dimensional study of the effect of block roughness geometry on inclined drop. J. Numer. Method. Civil Eng., 6(1), 1-9. DOI: [10.52547/nmce.6.1.1](https://doi.org/10.52547/nmce.6.1.1)
- Daneshfaraz, R., Ghaderi, A. and Khajei, N. (2021c). Experimental study of the effect of vertical screen diameter on energy dissipation at downstream vertical drop. Environ. Water Eng., 7(2), 356-365. DOI: [10.22034/jewe.2021.260857.1481](https://doi.org/10.22034/jewe.2021.260857.1481) [In Persian].
- Daneshfaraz, R., Bagherzadeh, M., Ghaderi, A., Di Francesco, S. & Asl, M. M. (2021d). Experimental investigation of gabion inclined drops as a sustainable solution for hydraulic energy loss. Ain Shams Eng. J., 12(4), 3451-3459. DOI: [10.1016/j.asej.2021.03.013](https://doi.org/10.1016/j.asej.2021.03.013)
- Dursun, O. F., Talu, M. F., Kaya, N. and Alcin, O. F. (2016). Length prediction of non-aerated region flow at baffled chutes using intelligent nonlinear regression methods. Environ. Earth Sci., 75(8), 680. DOI: [10.1007/s12665-016-5486-8](https://doi.org/10.1007/s12665-016-5486-8)
- Ghaderi, A., Daneshfaraz, R., Torabi, M., Abraham, J. and Azamathulla, H. M. (2020). Experimental investigation on effective scouring parameters downstream from stepped spillways. Water Suppl., 20(5), 1988-1998. DOI: [10.2166/ws.2020.113](https://doi.org/10.2166/ws.2020.113)
- Ghaderi, A. and Abbasi, S. (2021a). Experimental and numerical study of the effects of geometric appendage elements on energy dissipation over stepped spillway. Water, 13, 957. DOI: [10.3390/w13070957](https://doi.org/10.3390/w13070957) [In Persian]
- Ghaderi, A. and Abbasi, S. (2021b). Experimental study of energy dissipation over stepped spillway with appendage elements on the steps. Iran. J. Irrig. Drain., 15(3), 494-509 DOI: [20.1001.1.20087942.1400.15.3.2.6](https://doi.org/10.1001.1.20087942.1400.15.3.2.6)
- Gerger, R., Kisi, O., Faruk Dursun, O. and Emin Emiroglu, M. (2017). Applicability of several soft computing approaches in modeling oxygen transfer efficiency at baffled chutes. J. Irrig. Drain. Eng., 143(5), 04016085. DOI: [10.1061/\(ASCE\)IR.1943-4774.0001153](https://doi.org/10.1061/(ASCE)IR.1943-4774.0001153)
- Jam, M., Talebbeydokhti, N. and Mardashti, A. (2014). Evaluation of energy dissipation over dentate blocks spillway and comparing the energy dissipation with stepped spillway. J. Hydraul., 9(2), 1-10. DOI: [10.30482/jhyd.2014.8548](https://doi.org/10.30482/jhyd.2014.8548) [In Persian].
- Katourani, S. and Kashefipour, S. M. (2012). Experimental investigation the effect of space and size of baffles on energy dissipation in baffled apron drop. Arch. Des. Sci., 65(6), 278-288.
- Katourani, S. and Kashefipoor, S. (2014). Effect of the geometric characteristics of baffled and bed slopes of drop on hydraulic flow conditions in baffled apron drop. Irrig. Sci. Eng., 37(2), 51-59. DOI: [20.1001.1.25885952.1393.37.2.5.5](https://doi.org/10.1001.1.25885952.1393.37.2.5.5) [In Persian].
- Kaya, N. and Emiroglu, M. E. (2010). Study of oxygen transfer efficiency at baffled chutes. Proceed. Instit. Civil Eng. Water Manage., 163(9), 447-456. DOI: [10.1680/wama.900029](https://doi.org/10.1680/wama.900029)
- Nugroho, J., Soekarno, I. and Soeharno, A. W. H. (2019). Experimental study of energy dissipation at baffled chute spillway. J. Teoretis dan Terapan Bidang Rekayasa Sipil, 26(1), 33-37. DOI: [10.5614/jts.2019.26.1.5](https://doi.org/10.5614/jts.2019.26.1.5)

- Rahmanshahi, M. and Shafai Bejestan, M. (2020). Gene-expression programming approach for development of a mathematical model of energy dissipation on block ramps. *J. Irrig. Drain. Eng.*, 146(2), 04019033. DOI: [10.1061/\(ASCE\)IR.1943-4774.0001442](https://doi.org/10.1061/(ASCE)IR.1943-4774.0001442)
- Rahmanshahi Zahabi, M. and Shafai Bejestan, M. (2012). Experimental investigation of the effect of chute bed roughness height on energy dissipation. *Water Soil Sci.*, 22(2), 95-106. [In Persian].
- Rafiei, H., Bazargan, J. and Babakhani, A. (2020). Numerical study of the effective parameters on the energy dissipation rate of the baffled chutes. *Iran. J. Irrig. Drain.*, 14(3), 796-806. DOI: [20.1001.1.20087942.1399.14.3.6.3](https://doi.org/10.1001.1.20087942.1399.14.3.6.3) [In Persian].
- Sarkamaryan, S. and Ghomeshi, M. (2019). Study of energy dissipation in the chute with submerged obstacle using physical model. *Watershed Eng. Manage.*, 11(3), 691-700. DOI: [10.22092/ijwmse.2017.115220.1352](https://doi.org/10.22092/ijwmse.2017.115220.1352) [In Persian].

How to cite this paper:

Daneshfaraz, R., Ghaderi, A. and Bagheri, A. (2023). Effect of angle and geometric shape of block on flow energy dissipation in baffled chute. *Environ. Water Eng.*, 9(2), 225–240. DOI: [10.22034/EWE.2022.340443.1774](https://doi.org/10.22034/EWE.2022.340443.1774)